



## شناسایی جدآگرهای لاستیکی با هسته سربی (LRB) با استفاده از مدل اصلاح شده بوک-ون نرمال شده

آرش بهار<sup>۱\*</sup> و مهدی رشیدی میبدی<sup>۲</sup>

<sup>۱</sup> استادیار گروه عمران، دانشگاه گیلان، رشت

<sup>۲</sup> دانشجوی دکتری عمران گرایش سازه، دانشگاه گیلان، رشت

مقاله مستقل؛ تاریخ دریافت: ۱۳۹۵/۰۶/۱۳؛ تاریخ بازنگری: ۱۳۹۵/۱۲/۱۴؛ تاریخ پذیرش: ۱۳۹۶/۰۲/۰۳

### چکیده

به دلیل مشخصات دینامیکی موجود در نیروی بازگرداننده جدآگرهای لاستیکی با هسته سربی (LRB)، رفتار لرزه‌ای سازه‌های کف‌جدا بهشتد تحت تأثیر قرار می‌گیرند. به کار بردن مدل صحیح بر اساس نقش غیرخطی که این جدآگرهای دارند اهمیت بسیاری دارد. در این مقاله یک شکل ترکیبی برای نمایش رفتار جدآگرهای LRB ارائه می‌شود که بر اساس مدل اصلاح شده و نرمال شده بوک-ون قرار دارد. این مدل امکان شناسایی جدآگرهای LRB را با تعریف دو فاز خطی و غیرخطی آن‌ها فراهم می‌کند که بهنوبه خود باعث افزایش دقت در روند شناسایی آن‌ها می‌شود. با استفاده از یک تحريك سینوسی با دامنه‌ای که بهاندازه کافی بزرگ است، پارامترهای اصلی مدل با استفاده از فقط یک آزمایش معلوم می‌شوند. روند شناسایی و اعتبارسنجی، با استفاده از یک مدل جعبه سیاه از جدآگر LRB که در برنامه ساختمان‌های معیار کف‌جدا وجود دارد به عنوان مثال عددی انجام می‌گیرد. این مدل به عنوان یک آزمایشگاه مجازی مورد استفاده قرار گرفته است. نتایج نشان می‌دهند که دقت مدل شناسایی شده خوب بوده و مدل پیشنهادی برای نمایش رفتار جدآگرهای LRB می‌تواند گزینه مناسبی باشد.

**کلمات کلیدی:** جدآگر LRB؛ روش شناسایی گام به گام؛ مدل بوک-ون نرمال شده؛ ساختمان معیار.

### Identification of LRB Isolators Using a Modified Normalized Bouc-Wen Model

A. Bahar<sup>1,\*</sup>, M. Rashidi<sup>2</sup>

<sup>1</sup> Assist. Prof., Faculty of Engineering, University of guilan, Rasht, Iran

<sup>2</sup> Ph.D. Student, Faculty of Engineering, University of guilan, Rasht, Iran

### Abstract

Due to the inherent dynamic characteristics of the restoring force of the lead-rubber bearings (LRBs), seismic behavior of the base-isolated structures are highly affected. Applying the right model based on the non-linear role of the isolator is of utmost importance. This paper presents a compound form, based on the modified normalized Bouc-Wen model, to show the LRB isolator's behavior. This model allows to identify the LRB isolators more accurately by define its phenomenon in two linear and nonlinear phases. Based on a sinusoidal excitation with large enough amplitude, the essential parameters of the model can be realized with a unique test. The identification process and the validation of the model have been carried out using a black box model of an LRB isolator in a smart base-isolated benchmark building scheme as a virtual laboratory experiments. The results show a good level of accuracy for the identified model and make it a proper candidate for LRB isolators representation.

**Keywords:** LRB Isolator; Stepwise identification Method; Normalized Bouc-Wen Model; Benchmark Building

\* نویسنده مسئول؛ تلفن: ۰۹۱۱۲۴۶۰۵۶۵؛ فکس: ۰۱۳۳۳۷۸۵۴۵۱۹

آدرس پست الکترونیک: [bahar@guilan.ac.ir](mailto:bahar@guilan.ac.ir)

[۱۲]، فیلتر کالمن بسط داده شده<sup>۸</sup> در حوزه زمان [۱۳ و ۱۴] و تکنیک‌های گام به گام [۱۵-۱۷] می‌شوند. نی<sup>۹</sup> و همکاران [۱۸]، روش شناسایی پارامترهای جدآگرهای هیسترزیس از نوع اصطکاکی را بر اساس مدل بوک-ون بیان کردند که روشی در حوزه زمان به منظور شناسایی پارامترهای مدل با استفاده از نتایج آزمایشگاهی و تست‌های ارتعاشی متنابوب است. تان<sup>۱۰</sup> و هوانگ<sup>۱۱</sup> [۱۹]، روش شناسایی پارامترها را بر اساس تخمین حداقل مربعات<sup>۱۲</sup> در حوزه فرکانس برای مدل بوک-ون<sup>۱۳</sup> با استفاده از آزمایش‌های ارتعاشی متنابوب توسعه داده‌اند و در آن یک مدل هیسترزیس دوخطی نیز به عنوان مدل جایگزین برای جدآگرهای هیسترزیس LRB معرفی کردند. فوروکاوا<sup>۱۴</sup> و همکاران [۲۰]، روشی مبتنی بر پیش‌بینی خطأ با یک مدل فضای حالت غیرخطی برای شناسایی سازه‌های کف‌جدا پیشنهاد کردند. چندین مدل نیروی بازگرداننده غیرخطی برای سیستم‌های کف‌جدا به کار برده شده که نمونه‌ای از آن مدل فنر برشی ترکیبی<sup>۱۵</sup> است. در میان همه مدل‌های استفاده شده، نتایج نشان می‌دهند که مدل MSS هیسترزیس سه خطی به نیروی بازگرداننده هیسترزیس واقعی بسیار نزدیک است و با آن مطابقت دارد. ژیانگ<sup>۱۶</sup> و همکاران [۲۱]، روش تخمین حداقل مربعات غیرخطی متولی (SNLSE)<sup>۱۷</sup> را به منظور شناسایی پارامترهای مدل بکار برده‌اند. این مدل رفتار جدآگرهای لاستیکی که بر اساس مدل بوک-ون ساده‌شده است، را توصیف می‌کند. این روش در شناسایی پارامترهای مدل بسیار مؤثر عمل کرده است. دی وی<sup>۱۸</sup> و همکاران [۲۲]، مدلی ریاضی برای توصیف مشخصات هیسترزیس جدآگرهای لاستیکی پیشنهاد دادند. در این مدل، دامنه و فرکانس وابسته به مدل‌های فنر و میراگر که ضرایب آن با دامنه و

## ۱- مقدمه

جداسازی لرزاها ایده‌ای قدیمی است که پیشنهاد می‌کند سازه یا قسمتی از آن از اثرات زمین‌لرزه جدا شود. هدف اصلی جداسازی لرزاها تغییر فرکانس اصلی سازه و دور نگهدارشدن آن از فرکانس غالب زمین‌لرزه است. ابزارهای جداسازی متنوعی وجود دارند، شامل جدآگرهای لاستیکی (با و یا بدون هسته سربی)، جدآگرهای اصطکاکی و جدآگرهای غلتکی، که همچنان در حال توسعه‌اند و به صورت عملی در طراحی لرزاها سازه‌ها در دهه‌های اخیر به کاررفته‌اند [۱-۵]. در میان سیستم‌های جداسازی لرزاها، جدآگرهای لاستیکی با هسته سربی یا با اختصار LRB<sup>۱</sup> به صورت گسترده‌ای در سرتاسر جهان استفاده می‌شوند. LRB شامل لایه‌های متنابوب است که از لاستیک و صفحات فولادی با یک یا چند هسته سربی در داخل آن تشکیل شده است. هسته سربی که در برش تغییر شکل می‌دهد، پاسخ هیسترزیس<sup>۲</sup> را فراهم می‌کند و علاوه بر آن در برابر بادهای قوی و زلزله‌های خفیف صلبیت و سختی اولیه را به وجود می‌آورد تا جدآگرها منهدم نشوند و پایداری اولیه سازه تأمین شود [۳ و ۶].

رابطه نیرو-تغییرمکان جدآگر LRB غیرخطی است و پیش‌بینی صحیح رفتار لرزاها سازه‌های کف‌جدا<sup>۳</sup> به شدت به مدل ریاضی که برای این سیستم انتخاب می‌شود بستگی دارد. چندین مدل هیسترزیس برای توصیف رفتار دینامیکی جدآگر LRB پیشنهاد شده است [۹-۷] که مدل هیسترزیس خطی قطعه‌قطعه‌ای<sup>۴</sup>، مدل هیسترزیس چندجمله‌ای<sup>۵</sup> و مدل‌های هیسترزیس منحنی شکل<sup>۶</sup> از آن جمله‌اند. یک مدل مناسب برای یک سیستم دینامیکی معمولاً بر اساس مشخصات نیرو-تغییرمکان به دست آمده از آزمایش‌های دینامیکی یا استاتیکی شکل می‌گیرد. در دهه‌های گذشته، تلاش‌های زیادی برای توسعه روش‌های شناسایی برای سیستم‌های هیسترزیس غیرخطی انجام شده است. این روش‌ها شامل تخمین حداقل مربعات<sup>۷</sup> در حوزه زمان [۱۰-۱۱]

<sup>8</sup> Extended Kalman Filter

<sup>9</sup> Ni

<sup>10</sup> Tan

<sup>11</sup> Huang

<sup>12</sup> Least-Square

<sup>13</sup> Bouc-Wen

<sup>14</sup> Furukawa

<sup>15</sup> Multiple Shear Spring

<sup>16</sup> Qiang

<sup>17</sup> Sequential Nonlinear Least-square Estimation

<sup>18</sup> De-Wei

<sup>1</sup> Lead Rubber Bearing

<sup>2</sup> Hysteretic

<sup>3</sup> Base-Isolated Structure

<sup>4</sup> Piecewise-Linear Hysteretic Models

<sup>5</sup> Polynomial Hysteretic Models

<sup>6</sup> Curvilinear Hysteretic Models

<sup>7</sup> Least-Square Estimation

مطلوب و سرعت بالاتری است بلکه قابلیت وارون پذیری نیز دارد. رمضانی و زهرائی [۲۸]، برای شناسایی فرکانس و میرایی بهینه میراگر جرمی تنظیم شده ( $TMD^9$ ) از شیوه شبکه عصبی بهره گرفتند. با استفاده از شبکه عصبی، بدون اینکه نیاز به درک کامل از پارامترهای مؤثر بر رفتار میراگر وجود داشته باشد، این عوامل به طور غیرمستقیم در پیش‌بینی رفتار آن در نظر گرفته می‌شوند. با توجه به میزان خطای بدست‌آمده، می‌توان گفت شبکه عصبی در شناسایی پارامترهای میرایی و فرکانس این میراگر قابل اعتماد است. معافی و معصوم نژاد [۲۹] از فیلتر کالمن برای شناسایی مدل و پالایش داده‌های مخدوش جرثقیل سقفی استفاده کردند. با توجه به غیرخطی بودن مدل دینامیکی جرثقیل سقفی، فیلتر کالمن نامتقارن بهبودیافته با الگوریتم ژنتیک برای تخمین پارامترهای سیستم به کار گرفته شد. هدف طراحی در این مقاله دستیابی به نقطه هدف در کمینه زمانی با کمترین میزان خطا بود. نتایج شبیه‌سازی عملکرد بهینه الگوریتم کالمن بهبودیافته نامتقارن را در تعیین زمان سوئیچینگ نشان می‌دهند.

مقاله حاضر، یک مدل ترکیبی برای جدأگرهای LRB را پیشنهاد می‌دهد که از مدل بوک-ون اصلاح شده و بسط یافته، برای بیان نیروی بازگرداننده هیسترزیس جدأگر استفاده می‌کند. بهمنظور اصلاح روند شناسایی که در ابتدای میراگرهای MR معرفی شده بود [۳۱]، جدأگر تحت تحریکات با دامنه‌های مختلف قرار داده می‌شود. اعتبارسنجی نتایج بدست‌آمده برای مدل، با استفاده از برنامه جعبه سیاه<sup>۱۰</sup> یک جدأگر LRB که در ساختمان معیار کف‌جدا [۳۳] قرار دارد حاصل شده و از این برنامه به عنوان یک آزمایشگاه مجازی استفاده شده است.

این مقاله بر اساس بخش‌های زیر سازمان‌دهی شده: در بخش ۱، مدل بوک-ون اصلاح شده به صورت مختصر توضیح داده می‌شود. در بخش ۲، روش شناسایی گام‌به‌گام توضیح داده شده و کاربرد این روش برای شناسایی جدأگر LRB در برنامه ساختمان معیار به صورت کامل بیان خواهد شد.

<sup>9</sup> Tuned Mass Damper  
<sup>10</sup> Black-Box

فرکانسی که برای بیان رابطه بین نیروی غیرخطی و تغییر-مکان آن استفاده شده است، تغییر می‌کند. یینگ<sup>۱</sup> و مینگ<sup>۲</sup> مینگ<sup>۳</sup> [۲۳]، دو نوع الگوریتم را برای شناسایی خصوصیات غیرخطی جدأگرهای لاستیکی در ساختمان‌های کف‌ جدا پیشنهاد دادند که در آن تنها از اندازه‌گیری‌های محلی پاسخ‌های دینامیکی سازه استفاده شده است. اولین الگوریتم بر اساس فیلتر کالمن بسط داده شده برای شناسایی پارامتریک مدل‌های غیرخطی جدأگر لاستیکی قرار داشت و الگوریتم دوم به منظور شناسایی خواص غیرخطی آزاد از مدل سیستم کف‌جدا، با جدأگر لاستیکی پیشنهاد شده بود. علاوه بر مدل‌های شناسایی ذکر شده، روش‌های شناسایی بر مبنای الگوریتم ژنتیک (GA)<sup>۴</sup> [۲۴] و نیز برای شناسایی پارامترهای مجھول پیشنهاد شده‌اند. با این وجود، به دلیل پیچیدگی مدل‌های شناسایی شده، این الگوریتم‌ها در پیدا نمودن راه حل‌های بهینه دچار نقص هستند. همچنین، به دانش اولیه درباره هدف پارامترها نیز نیاز است تا سرعت همگرایی افزایش یابد. یو<sup>۵</sup> و همکاران [۲۶] از الگوریتم بهینه‌سازی مگس میوه (FFOA)<sup>۶</sup> که از تکنیک بهینه‌سازی استفاده می‌کند به منظور شناسایی پارامترهای مدل اصطکاکی لوگره<sup>۷</sup> برای نمایش رفتار جدأگرهای لاستیکی با مایع مغناطیسی (MRE)<sup>۸</sup> استفاده کردند. با استفاده از این الگوریتم، سرعت همگرایی افزایش داده شد و نتایج دقیق‌تری به دست آمد. مهرکیان و همکارانش [۲۷]، به بررسی مدل‌های موجود برای میراگر MR<sup>۹</sup> پرداختند و پارامترهای آن‌ها را با استفاده از روش بهینه‌سازی ژنتیکی تحت شرایط برای شناسایی نمودند. آن‌ها در این پژوهش، یک مدل شبیه استاتیکی نیز برای میراگر معرفی کردند که بدون معادله دیفرانسیل بوده و وارون‌پذیر است. با توجه به مقایسه‌های انجام شده به این نتیجه دست یافتند که مدل ارائه‌شده مؤثرتر از مدل‌های دینامیکی عمل می‌کند زیرا نه تنها دارای دقت

<sup>1</sup> Ying

<sup>2</sup> Ming

<sup>3</sup> Genetic Algorithm

<sup>4</sup> Yu

<sup>5</sup> Fruit Fly Optimization Algorithm

<sup>6</sup> Luge

<sup>7</sup> Magnetorheological Elastomer

<sup>8</sup> Magnetorheological

$$\dot{\alpha}(t) = \rho[\dot{x}(t) - \sigma|\dot{x}|^{\alpha(t)}]^{\alpha(t)-1} \alpha(t) + (\sigma-1)\dot{x}(t)|\alpha(t)|^{\alpha(t)} \quad (5)$$

که در آنها،

$$\rho = \frac{A}{Dz_0} > 0, \sigma = \frac{\beta}{\beta+\gamma} \geq 0, k_x = \alpha x > 0, k_\omega = (1-\alpha)Dkz > 0$$

معادلات ۴ و ۵ فرم نرمال شده معادله بوک-ون نامیده می‌شوند. یکی از امتیازات این فرم این است که بجای ۷ پارامتر، ۵ پارامتر در آن باید شناسایی شود. توجه شود که فرم نرمال شده مدل بوک-ون دقیقاً هم‌ارز با فرم استاندارد آن است.

**۳-۲- مدل بوک-ون نرمال شده و بسط یافته**  
بهار و همکاران [۳۱]، به این نتیجه رسیدند که مدل استفاده شده در معادلات ۴ و ۵ فقط برای ابزارهایی که دارای رفتارهای از نوع برشی هستند، مناسب‌اند. بنابراین مدلی اصلاح شده را به‌منظور بهبود دقت روندهای شناسایی برای کلیه ابزارها بر اساس مدل بوک-ون نرمال شده پیشنهاد دادند که به‌صورت معادلات زیر بیان می‌شوند.

$$f(t) = k_x x(t) + k_{\dot{x}} \dot{x}(t) + k_\omega \omega(t) \quad (6)$$

$$\dot{\alpha}(t) = \rho[\dot{x}(t) - \sigma|\dot{x}|^{\alpha(t)}]^{\alpha(t)-1} \alpha(t) + (\sigma-1)\dot{x}(t)|\alpha(t)|^{\alpha(t)} \quad (7)$$

و در آنها:

$$k_x > 0, k_{\dot{x}} > 0, k_\omega > 0,$$

$$\rho > 0, \sigma > \frac{1}{2}, n \geq 1$$

این مقاله بر آن است تا با استفاده از این رابطه، مدل‌سازی جدآگرها LRB را انجام‌دهد. یعنی فرض می‌شود که نیروی بازگردانندهایی که در اثر تغییرشکل‌های جانبی در این جدآگرها ایجاد می‌شود، ترکیبی است از ترم‌های الاستیک، ویسکوز و هیسترزیس. در بخش بعدی برای اولین بار مدل بوک-ون نرمال شده و اصلاح شده، برای شناسایی رفتار جدآگرها LRB مورد استفاده قرار خواهد گرفت.

### ۳- روش شناسایی

#### ۳-۱- الگوریتم شناسایی

در مدل بوک-ون نرمال شده بسط یافته، مطابق معادلات ۶ و ۷، مجموعه  $\{k_x, k_{\dot{x}}, k_\omega, \rho, \sigma, n\}$  پارامترهای مدل هستند که باید از طریق روند شناسایی گام‌به‌گام تعیین شوند. این روند بر اساس سه گام اصلی زیر [۳۱] استوار است.

• تخمین پارامتر  $k_x$ .

بخش ۴، درباره بهبود عملکرد روند شناسایی است و در انتهای نتیجه‌گیری قرار دارد که در بخش ۵ ارائه شده است.

### ۲- مدل بوک-ون و مدل اصلاح شده آن

#### ۲-۱- مدل بوک-ون

بر اساس مدل بوک-ون می‌توان رابطه بین نیرو و تغییرمکان را در ابزارهای هیسترزیس به صورت معادله دیفرانسیل غیرخطی زیر بیان داشت.

$$f(t) = \alpha kx(t) + (1-\alpha)Dkz(t) \quad (1)$$

$$\dot{z}(t) = D^{-1}(Ax(t) - \beta|\dot{x}|^{\alpha(t)}z(t)^{\alpha(t)-1}z(t)) \quad (2)$$

که در آن  $\dot{x}$  بیانگر مشتق زمانی نسبت به  $t$  بوده و  $A$  ترم هیسترزیس موجود در معادله است.  $D > 0$  می‌باشد که شرایط انتقال از ناحیه الاستیک به پلاستیک را بیان می‌کند.  $\beta > 0$  به ترتیب تغییرمکان تسلیم و سختی پیش از تسلیم جدآگر می‌باشد.  $\alpha$  و  $\beta$  پارامترهای بدون بعدی هستند که شکل چرخه هیسترزیس را کنترل می‌کنند و به همراه  $D, n, k, \alpha$  از طریق شناسایی تعیین می‌شوند.

#### ۲-۲- مدل بوک-ون اصلاح شده

ایرادی که به مدل استاندارد وارد شده این است که روندهای شناسایی نمی‌توانند پارامترهای مدل بوک-ون را به صورت کامل تعیین کنند. بنابراین، کاربران این مدل اغلب، بعضی از این پارامترها را ثابت و از پیش تعریف شده در نظر می‌گیرند و این خود باعث می‌شود که مقایسه نتایج شناسایی شده که از روش‌های شناسایی متفاوت حاصل شده‌اند، مشکل شود. لازم است که مدلی نرمال شده و همسنگ برای مقایسه نتایج برای روش‌های شناسایی متفاوت معرفی شود. به‌منظور دستیابی به این اهداف، اخوان<sup>۱</sup> و روڈیار<sup>۲</sup> در [۳۰] پارامتر زیر را معرفی معرفی کرده‌اند.

$$\omega(t) = \frac{z(t)}{z_0} \quad (3)$$

بنابراین، معادلات ۱ و ۲ به صورت زیر بازنویسی می‌شوند.

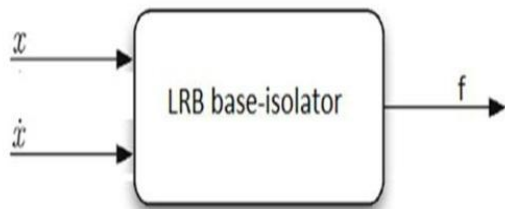
$$f(t) = k_x x(t) + k_\omega \omega(t) \quad (4)$$

<sup>1</sup> Ikhouane  
<sup>2</sup> Rodellar

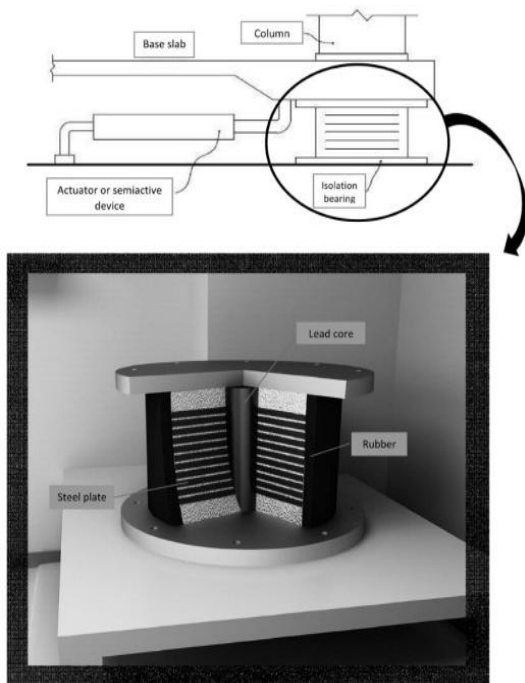
جداسازی، شامل ۹۲ جدآگر است (۳۱) جدآگر لاستیکی بدون هسته و ۶۱ جدآگر لاستیکی با هسته سربی). جدآگرها بین عرضه بالایی و پی زیرین مطابق شکل ۲ متصل شده‌اند.

### ۲-۲-۳- نتایج شناسایی

به منظور استفاده از روند شناسایی توضیح داده شده، لازم است تا تحریک سینوسی با دامنه مناسب به نمونه اعمال شود. تغییر مکان بوجود آمده در جدآگر در شکل ۳ نمایش داده شده است و شکل ۴ دیاگرام نیرو-تغییر مکان جدآگر را



شکل ۱- متغیرهای ورودی- خروجی جدآگر



شکل ۲- نمایی از ابزار کنترلی در کف سازه معیار (در خلال شناسایی، میراگر خاموش است)

- تخمین پارامترهای  $k_x$  و  $k_{\omega}$ .
- تخمین باقی پارامترها بر اساس الگوریتم شناسایی موجود در [۳۲].

محاسبه پارامتر  $k_x$  می‌تواند به صورت گرافیکی با ملاحظه دیاگرام نیرو-تغییر مکان جدآگر LRB انجام شود. وقتی جدآگر به وسیله موج سینوسی با دامنه‌ای که به اندازه کافی بزرگ است تحریک شود، شبکه متوسط منحنی، تخمینی از این پارامتر خواهد بود. به منظور تخمین باقی پارامترها، با معلوم بودن مقدار  $k_x$  سهم عملکرد ارجاعی از نتایج حذف می‌شود.

$$f_n(t) = f(t) - k_x x(t) = k_x \ddot{x}(t) + k_{\omega} \dot{\phi}(t) \quad (8)$$

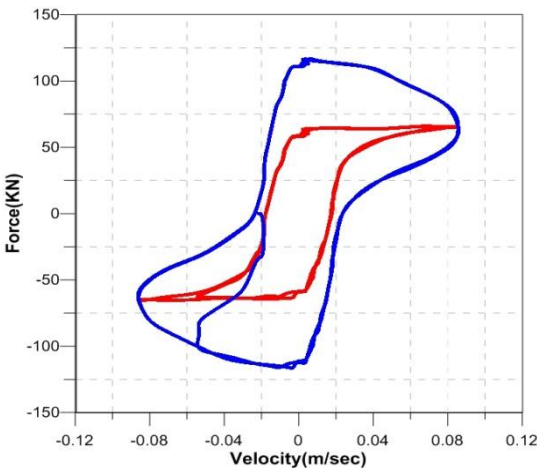
پارامترهای  $k_x$  و  $k_{\omega}$  به وسیله دیاگرام نیرو-سرعت برای نیروی خروجی جدآگر LRB منهای نیروی الاستیک خطی ( $k_x x(t)$ ) به دست می‌آیند. این دو پارامتر از طریق رگرسیون خطی شاخه پلاستیک دیاگرام، شناسایی می‌شوند. تخمین پارامترهای باقیمانده نیز بر اساس الگوریتم شناسایی که در [۳۲] وجود دارد و در پیوست ۱ بیان شده، انجام می‌گیرد.

### ۲-۳- کاربرد در ساختمان معیار

به عنوان نمونه، جدآگر LRB که به عنوان یک مدل جعبه سیاه در ساختمان معیار کف جدا [۳۳] وجود دارد، در نظر گرفته می‌شود. از این برنامه عددی به عنوان یک آزمایشگاه مجازی مطابق شکل ۱ به منظور انجام تست‌های مختلف استفاده می‌شود.

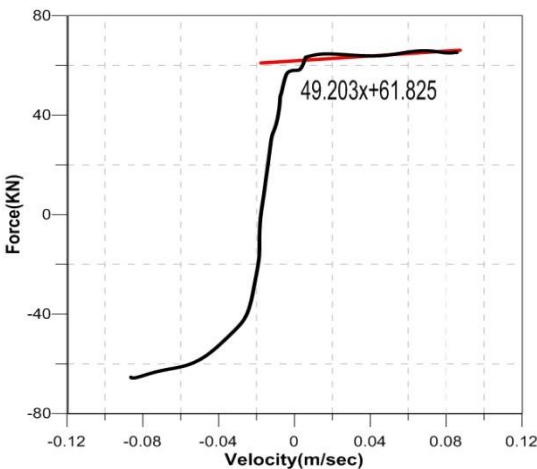
### ۲-۳-۱- ساختمان معیار کف جدا

ساختمان معیار کف جدا [۳۳] به وسیله کمیته کنترل سازه‌ای مهندسان عمران آمریکا (ASCE) تهیه شده و به عنوان یک مدل مرجع شناخته می‌شود که یک برنامه محاسباتی را برای آزمایش‌های عددی کنترل سازه‌ای فراهم می‌کند. سازه معیار، یک ساختمان هشت طبقه با قاب‌های مهاربندی فولادی است که دارای طول  $82/4$  متر و عرض  $54/3$  متر مشابه سازه موجود در لس‌آنجلس کالیفرنیا است. سیستم کف تقریباً صلب سازه از ترکیب بتن و تیرهای سخت فولادی تشکیل شده است. سازه فولادی فوقانی بر روی یک کف بتن مسلح قرار دارد که با تیرهای فولادی یکپارچه شده است و به وسیله یکلایه جدآگر از زمین جدا شده است. در زیر سازه، لایه



شکل ۵- دیاگرام نیرو- سرعت برای نیروی بازگرداننده  
جدآگر (LRB) آبی) و "نیروی به روز شده"

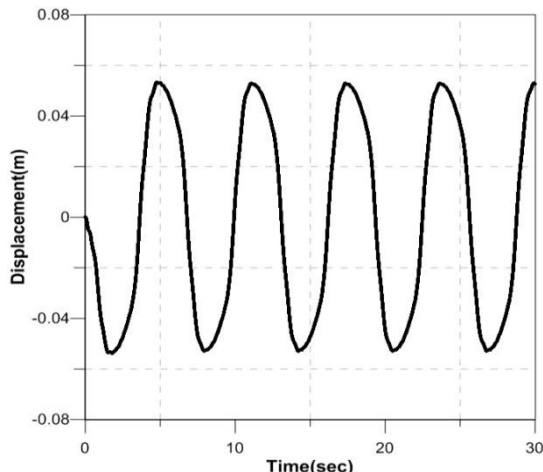
$$f_n(t) = f(t) - k_x x(t)$$



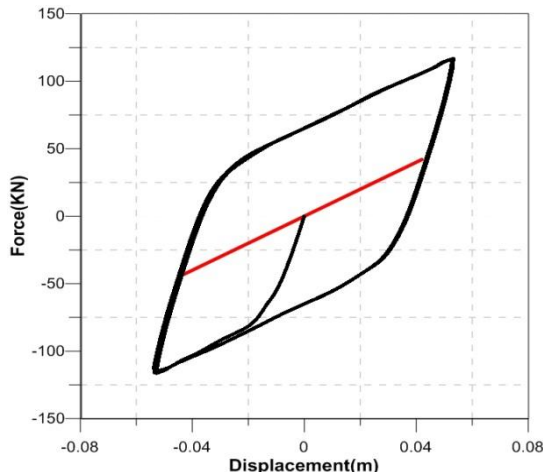
شکل ۶- مرحله بارگذاری دیاگرام "نیروی به روز شده"  
سرعت" به منظور محاسبه  $k_{\dot{x}}$  و  $k_{\omega}$

بارگذاری و باربرداری در دیاگرام نیرو- سرعت مطابق شکل ۵ باید تقریباً برحمنطبق باشند.  
پارامترهای  $k_{\dot{x}}$  و  $k_{\omega}$  از رگرسیون خطی شاخه های پلاستیک که در شکل ۶ نشان داده شده است، بدست معادلات ۱۱ تا ۱۸ در پیوست ۱ ادامه روند شناسایی پارامترهای باقیمانده مدل بوک-ون نرمال شده را تکمیل می کند [۳۲]. بنابراین، پارامترهای مجھول مطابق زیر شناسایی می شوند:

$$n = 1.451, \rho = 89.4, \sigma = 0.976$$



شکل ۳- تغییر مکان جدآگر تحت تحریک سینوسی

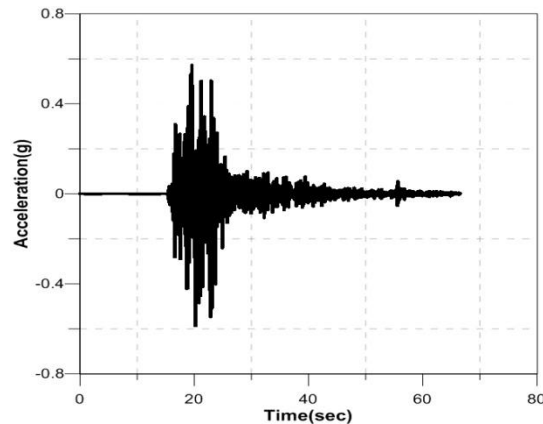


شکل ۴- شیب متوسط دیاگرام نیرو- تغییر مکان وقتی که سازه به وسیله یک موج سینوسی تحریک شده است و تخمین پارامتر  $k_x$

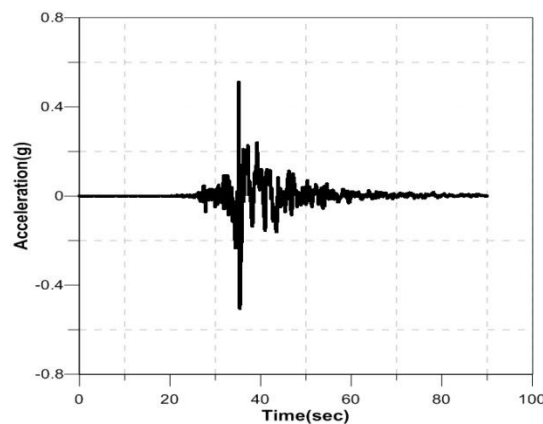
نشان می دهد. همان گونه که در شکل ۴ پیداست، دیاگرام نیرو- تغییر مکان شیب متوسطی دارد که تقریباً برابر با شیب شاخه پلاستیک منحنی است. خط قرمز در شکل، این شیب را نشان می دهد که ضریب الاستیک  $k_x$  از آن قابل محاسبه است.

$$k_x = 20 / 0.02 = 1000 \text{ KN/m}$$

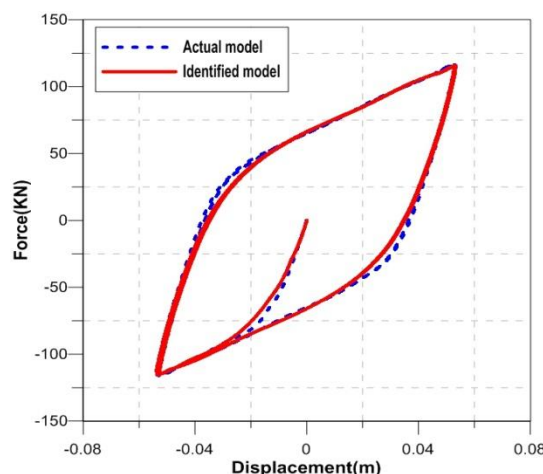
کنترل شاخه های پلاستیک دیاگرام نیرو- سرعت در حضور و در غیاب ترم الاستیک کمک می کند تا از درستی مقدار  $k_x$  اطمینان حاصل شود. پس از حذف ترم الاستیک، شاخه های



شکل ۷- مؤلفه افقی زلزله بم



شکل ۸- مؤلفه عمود بر گسل زلزله چی چی



شکل ۹- دیاگرام نیرو-تغییرمکان جداگر برای نیروی مرجع (آبی) و نیروی شناسایی شده (قرمز) وقتی که سازه به وسیله یک تحریک سینوسی تحریک شده است

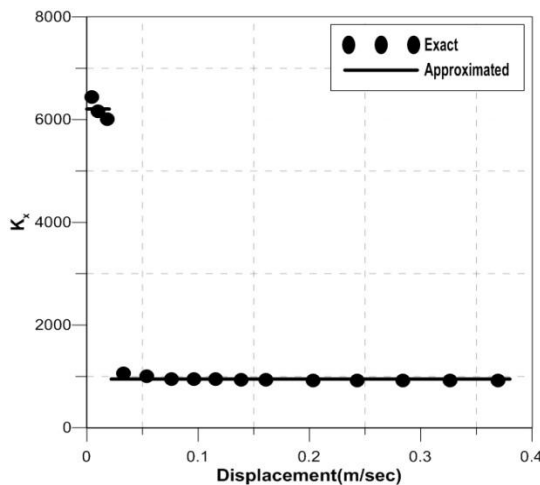
### ۳-۲-۳- تکمیل روند شناسایی جداگر

در این قسمت ابتدا مدل شناسایی شده با مدل مرجع جداگر LRB که در ساختمان معیار وجود دارد تحت تحریک سینوسی استفاده شده در روند اولیه شناسایی، مقایسه می شود. سپس، این مقایسه تحت دو تحریک لرزه ای زلزله بم، مؤلفه ۳۱۶۸-۰۲ در جهت افقی (ایران ۲۰۰۳) و زلزله چی چی<sup>۱</sup>، مؤلفه عمود بر گسل (تایوان ۱۹۹۹) انجام می گیرد. شتاب این زلزله ها به ترتیب در شکل های ۷ و ۸ نشان داده شده اند. دیاگرام نیرو-تغییرمکان منتج شده تحت تحریک سینوسی در شکل ۹ نشان داده شده است. دقت خوبی بین مدل شناسایی شده و مدل مرجع که از مدل جعبه سیاه بدست آمده است، وجود دارد.

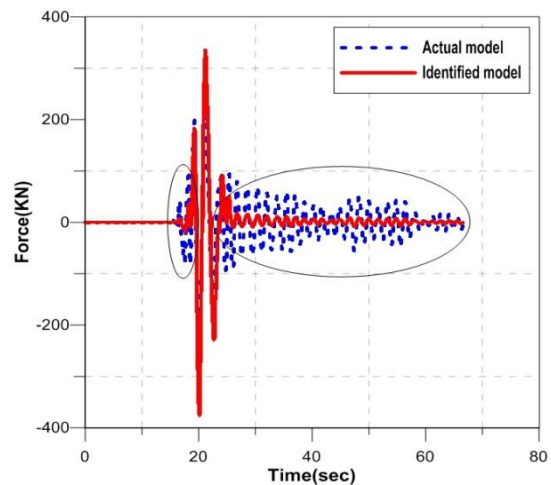
اما همان گونه که اشاره شد انتظار می رود که این نوع از جداگرها را نتوان فقط با یک رابطه بیان داشت. برای کنترل این فرض از یک تحریک زلزله استفاده می شود. در دیاگرام های مقایسه شده تحت تحریکات زلزله بم و چی چی مطابق شکل های ۱۰ و ۱۱ ناسازگاری بین مدل شناسایی شده و مدل مرجع وجود دارد که در برخی نواحی دیده می شود. این طور به نظر می رسد که پارامترهای شناسایی شده فقط برای تحریکات قوی است که به خوبی کار می کنند. اما برای تحریکات متوسط یا کوچک که در آن جداگر در بازه های تغییر شکلی محدود کار می کند، مدل شناسایی شده دقیق نیست و مقادیر به دست آمده کمتر از مقادیر اصلی تخمین زده شده اند. به این ترتیب تأیید می شود که تخمین رفتار جداگر در طی روند شناسایی و به دست آوردن پارامترها بسیار مهم است به طوری که شناسایی باید نسبت به محدوده تسلیم جداگر حساس باشد. بنابراین یک قدم اصلاحی به روش شناسایی قبلی اضافه خواهد شد تا مدلی که برای جداگر ارائه می شود نسبت به تغییر شکل های تسلیم جداگر واکنش مناسب نشان داده و برای تغییر شکل های محدود جوابگو باشد.

مطابق شکل های ۱۰ و ۱۱، مدل توصیف شده (معادلات ۶ و ۷) رفتار جداگر LRB را در بازه های ارتعاشی کوچک نمی تواند نشان دهد.

<sup>۱</sup> Chichi



شکل ۱۲- مقادیر پارامتر  $k_x$  برای تحریکات مختلف با دامنه‌های متفاوت



شکل ۱۰- مقایسه نیروی بازگرداننده جداگر LRB برای مدل شناسایی شده و مدل مرجع تحت تحریک زلزله به

برای تکمیل مدل، مقادیر متوسط ضریب  $k_x$  در هر کدام از این گروه‌ها به عنوان سختی پیش از تسلیم جداگر LRB و سختی پس از آن انتخاب می‌شود. در واقع و در عمل برای یافتن سختی الاستیک متناظر با فاز خطی رفتار جداگر، نیازی به بکار بردن تحریک جدید نیست. این مقدار را می‌توان به راحتی از دیاگرام شکل ۴ در قسمت قبلی به دست آورد. به این ترتیب، مدل اصلاح شده و ترکیبی جداگر LRB به صورت زیر پیشنهاد می‌شود:

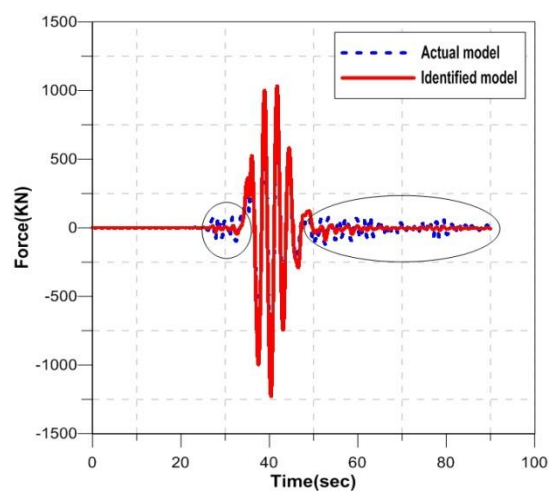
$$f_{LRB} = \begin{cases} k_{x1}x(t), & |x_b| < x_y \\ k_{x2}x(t) + k_{\dot{x}}\dot{x}(t) + k_{\omega}\omega(t), & |x_b| \geq x_y \end{cases} \quad (9)$$

$$\dot{\alpha}(t) = \rho[\dot{x}(t) - \sigma|\dot{x}(t)|^{n-1}\alpha(t) + (\sigma-1)\dot{x}(t)|\alpha(t)|^n] \quad (10)$$

که در آن  $x_y$  تغییر مکان متناظر با تسلیم جداگر است. این مقدار برای این جداگر برابر با  $0.20$  متر تعیین شده است. مقادیر نهایی به دست آمده برای این پارامترها در جدول ۱ لیست شده‌اند.

جدول ۱- مقادیر پارامترهای شناسایی شده به وسیله روش شناسایی گام به گام اصلاح شده

	$k_{x1,2}$	$k_{\dot{x}}$	$k_{\omega}$	$n$	$\rho$	$\sigma$
$ x_b  < x_y$	6206.5	-	-	-	-	-
$ x_b  \geq x_y$	1000	49.203	61.825	1.451	89.4	0.976

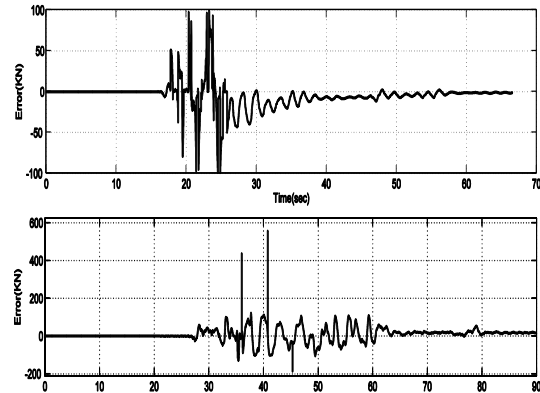


شکل ۱۱- مقایسه نیروی بازگرداننده جداگر LRB برای مدل شناسایی شده و مدل مرجع تحت تحریک زلزله چی چی

قبل از تغییر شکل تسلیم، رفتار جداگر خطی است و بنابراین باید تنها ترم الاستیک برای نمایش رفتار جداگر کافی باشد. واضح است که مقدار تغییر مکان تسلیم جداگر را می‌توان از دیاگرام نیرو-تغییر مکان مطابق شکل ۴ به دست آورد. به منظور مشاهده تأثیر تغییر مکان تسلیم بر روی مقادیر ترم الاستیک، با انجام آزمایشی مطابق شکل ۱۲، جداگر LRB تحت تحریکات مختلفی با دامنه‌های متفاوت قرار داده شده است. همان‌طور که در شکل نشان داده شده، تقریباً دو گروه مختلف از مقادیر به دست آمده‌اند.

### ۵- نتیجه‌گیری

در این مقاله یک مدل ترکیبی بر اساس مدل بوک-ون نرمال شده برای جدآگرهای LRB پیشنهاد شده است. پارامترهای این مدل با افزودن یک مرحله جدید و اصلاح روش شناسایی گام به گامی که دارای سازماندهی خوبی است و برای میراگرهای MR ارائه شده، تعیین می‌شوند. نشان داده شد که با تعریف دو فاز خطی و غیرخطی برای جدآگرهای LRB، شناسایی با دقت بسیار بالاتری انجام می‌گیرد. پارامترهای اصلی مدل به کمک فقط یک تحریک سینوسی که دامنه حرکتی نسبتاً بزرگی دارند، به دست می‌آیند. سختی الاستیک با محاسبه شبیه فاز خطی دیاگرام نیرو-تغییرمکان حاصل می‌شود و ضرایب ترم ویسکوز و هیسترزیس نیز از رگرسیون خطی شاخه پلاستیک محاسبه شده‌اند. در ادامه پارامترهای  $n$ ,  $m$  و  $\sigma$  با انجام یک آزمایش حاصل شدن. اعتبارسنجی روش شناسایی با استفاده از یک مدل جعبه سیاه جدآگر LRB در ساختمان معیار کف‌جدا انجام شد و نتایج به دست آمده از آزمایشگاه مجازی، سطحی خوب از دقت را بین نیروی شناسایی شده و نیروی مرجع برای این ابزار نشان می‌دهند.



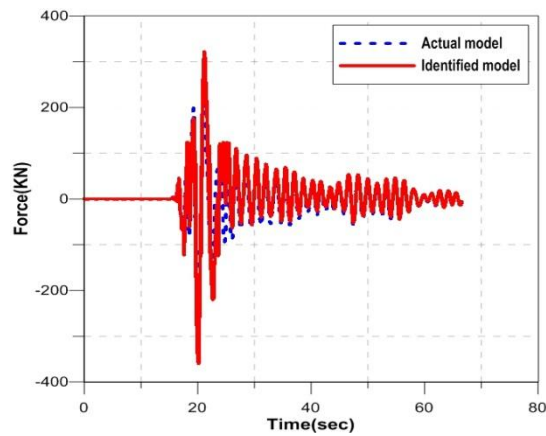
شکل ۱۵- خطای به وجود آمده بین نیروی واقعی و نیروی شناسایی شده جدآگر LRB تحت زلزله بهم (بالا) و زلزله چی (پایین)

### ۶- پیوست ۱

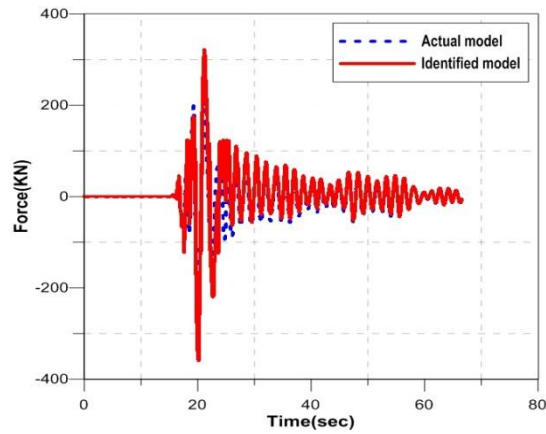
به منظور ادامه تخمین پارامترها مطابق [۲۶]،تابع  $\theta$  مطابق زیر پیشنهاد شده است.

### ۴- اعتبارسنجی مدل

شکل‌های ۱۳ و ۱۴ پاسخ مدل شناسایی شده را برمبنای معادله ۹ و پاسخ مدل مرجع نشان می‌دهد. این شکل‌ها نشان می‌دهند که مدل پیشنهادشده بهتر رفتار می‌کند و پارامترهای شناسایی شده دقیق می‌باشند. بنابراین سازگاری مناسب‌تری بین مدل‌های مرجع و مدل شناسایی شده برقرار می‌شود. بهمنظور اندازه‌گیری اختلاف بین نیروی به دست آمده از مدل شناسایی پیشنهادی و نیروی واقعی، از نمودارهای اختلاف بین این دو نیرو استفاده می‌شود. شکل ۱۵ اختلاف دو نیروی حاصل از شناسایی و نیروی واقعی را نشان می‌دهد. با توجه به نتیجه حاصل شده، کیفیت شناسایی مطلوب ارزیابی می‌شود.



شکل ۱۳- مقایسه نیروی بازگرداننده جدآگر LRB از روش شناسایی شده پیشنهادی و نیروی مرجع تحت زلزله بهم



شکل ۱۴- مقایسه نیروی بازگرداننده جدآگر LRB از روش شناسایی شده پیشنهادی و نیروی مرجع تحت زلزله چی

## ۷- مراجع

- [1] Buckle IG, Mayes RL (1990) Seismic isolation history, application and performance-a world view. Earthq Spectra 6: 161-201.
- [2] Naeim F, Kelly JM (1999) Design of seismic isolated structures: From theory to practice. 1st edn. Hoboken. John Wiley & Sons.
- [3] Jangid RS (2007) Optimum lead-rubber isolation bearings for near-fault motions. Eng Struct 29: 2503-2513.
- [4] Kelly JM (1986) A seismic base isolation: Review and bibliography. Soil Dyn Earthq Eng 110: 186-203.
- [5] Jangid RS, Datta TK (1995) Seismic behaviour of base isolated building-A state-of-the-art-review. P I Civil Eng-Str B 110(2): 186-203.
- [6] Tyler RG, Robinson WH (1984) High-strain tests on lead-rubber bearings for earthquake loadings. B New Zealand Nat Soc Earthq Eng 17: 90-105.
- [7] Wen YK (1976) Method for random vibration of hysteretic systems. J Eng Mech Div 102(2): 249-263.
- [8] Wen YK (1980) Equivalent linearization for hysteretic systems under random excitations. J Appl Mech-T ASME 47(1): 150-154.
- [9] Zhou L, Wu SY, Yang JN (2008) Experimental study of an adaptive extended kalman filter for structural damage identification. J Infrastruct Syst 14(1): 42-51.
- [10] Lin JW, Betti R, Smyth WA, Longman RW (2001) On-line Identification of nonlinear hysteretic structural system using a variable trace approach. Earthquake Eng Struc 30: 1279-1303.
- [11] Loh CH, Lin CY, Huang CC (2000) Time domain identification of frames under earthquake loadings. J Eng Mech-ASCE 126(7): 693-703.
- [12] Yang JN, Lin S (2004) On-line identification of nonlinear hysteretic structures using an adaptive tracking technique. Int J Nonlinear Mech 39: 1481-1491.
- [13] Hoshiya M, Maruyama O (1987) Kalman filtering of versatile restoring systems. 1st edn. Stochastic Approaches in Earthquake Engineering Lecture Notes in Engineering. Springer-Verlag Berlin Heidelberg, Florida.
- [14] Lin L-S, Zhang Y (1994) Nonlinear structural identification using extended Kalman filter. Comput Struct 52: 757-764.
- [15] Loh CH, Chung ST (1998). A three-stage identification approach for hysteretic systems. Earthquake Eng Struc 22: 1435-1459.
- [16] Ramallo JC, Yoshioka H, Spencer BF (2004) A two-step identification technique for semiactive control system. Struct Control Hlth 11: 273-289.

$$\theta(\tau) = f_n(\tau) - k_{\dot{x}} \frac{dx(\tau)}{d\tau}, \quad \tau \in [0, T^+] \quad (11)$$

که یک صفر یکتایی در آن وجود دارد. با توجه به ثابت زمانی که در آن وجود دارد  $\tau_* \in [0, T^+]$  و مقدار متناظر با آن  $x_* = x(\tau_*) \in [X_{\min}, X_{\max}]$  ،تابع  $\theta$  مقداری صفر خواهد داشت. از آنجایی که تابع  $\theta$  معلوم است،  $x_*$  به دست می‌آید. مقدار  $a$  نیز به صورت زیر تعریف می‌شود که شبیه تابع  $\theta$  در نقطه  $x_*$  است.

$$a = \left( \frac{d\theta(x)}{dx} \right)_{x=x_*} \quad (12)$$

سپس پارامتر  $n$  از فرمول زیر تعیین می‌شود.

$$n = \frac{\log \left[ \frac{\left( \frac{d\theta(x)}{dx} \right)_{x=x_{*2}} - a}{\left( \frac{d\theta(x)}{dx} \right)_{x=x_{*1}} - a} \right]}{\log \left( \frac{\theta_{x=x_{*2}}}{\theta_{x=x_{*1}}} \right)} \quad (13)$$

در جاییکه  $x_{*2} > x_{*1} > x_*$  ، پارامترهای بعدی به دست می‌آیند.

$$b = \frac{a - \left( \frac{d\theta(x)}{dx} \right)_{x=x_{*2}}}{\theta(x_{*2})^n} \quad (14)$$

که پارامترهای  $k_\omega$  و  $\rho$  از روابط زیر حاصل می‌شوند.

$$k_\omega = \sqrt[n]{\frac{a}{b}}, \quad (15)$$

$$\rho = \frac{a}{k_\omega} \quad (16)$$

تابع  $\bar{\omega}(x)$  به صورت زیر تعریف می‌شود.

$$\bar{\omega}(x) = \frac{\theta(x)}{k_\omega} \quad (17)$$

در انتهای پارامتر  $\sigma$  از رابطه زیر به دست می‌آید.

$$\sigma = \frac{1}{2} \left( \frac{\left( \frac{d\bar{\omega}(x)}{dx} \right)_{x=x_{*3}} - 1}{\frac{\rho}{(-\bar{\omega}(x_{*3}))^n}} + 1 \right) \quad (18)$$

که  $x_{*3}$  در جایی از نمودار است که  $x_* < x_{*3}$  باشد.

- [26] Yu Y, Li Y, Li J (2015) Parameter identification and sensitivity analysis of an improved LuGre friction model for magnetorheological elastomer base isolator. *Meccanica* 50: 2691-2707.
- [۲۷] مهرکیان ب، بهار آ، چائی بخش ع (۱۳۹۴) بهینه‌سازی ژنتیکی محاسبات سخت در مقابل محاسبات نرم برای مدل‌سازی میراگر MR و ارائه یک مدل شبه استاتیکی وارون-پذیر. *نشریه علمی پژوهشی امیرکبیر- عمران و محیط‌زیست*. ۴۷(۲): ۳۳-۵۰.
- [۲۸] رمضانی م، زهرائی س م (۱۳۹۵) پارامترهای بهینه میراگر جرمی تنظیم شده برای سازه‌های بلند به کمک شبکه‌های عصبی مصنوعی. *مجله علمی پژوهشی عمران مدرس*. ۱۶(۴): ۱۰۹-۱۲۱
- [۲۹] معافی س ع، مقصوم نژاد م (۱۳۹۵) تعیین بهینه زمان سوئیچینگ کنترلر بنگ-بنگ برای سیستم نامعین جرثقیل. *سقفی. مجله مهندسی مکانیک مدرس* ۱۷۸-۱۸۶. ۱۶(۵):
- [30] Ikhouane F, Rodellar J (2007) System with hysteresis: Analysis, identification and control using the Bouc-Wen model. John Wiley & Sons, Ltd.
- [31] Bahar A, Pozzo F, Acho L, rodellar J, Barbat A (2010) Parameter identification of large-scale magnetorheological dampers in a benchmark building. *Comput Struct* 88: 198-206.
- [32] Rodriguez A, Iwata N, Ikhouane F, Rodellar J (2009) Model identification of a large-scale magnetorheological fluid damper. *Smart Mater Struct* 18(1): 015010.
- [33] Narasimhan S, Nagarajaiah S, Johnson EA, Gavin HP (2000) Smart base-isolated benchmark building. Part 1: problem definition. *Struct Control Hlth* 13: 573-588.
- [17] Lil SJ, Suzuki Y, Noori M (2004) Identification of hysteretic system with slip using bootstrap filter. *Mech Syst Signal Pr* 18: 781-795.
- [18] Ni YQ, Ko JM, Wong CW (1998) Identification of nonlinear hysteretic isolators from periodic vibration tests. *J Sound Vib* 217(4): 737-756.
- [19] Tan RY, Huang MC (2000) System identification of a bridge with lead-rubber bearings. *Comput Struct* 74: 267-280.
- [20] Furukawa T, Ito M, Izawa K, Noori MN, ASCE M (2005) System Identification of base-isolated building using seismic response data. *J Eng Mech-ASCE* 131: 268-275.
- [21] Qiang Y, Li Z, Xinming W, ASCE M (2010) Parameter identification of hysteretic model of rubber-bearing based on sequential nonlinear least-square estimation. *Earthq Eng Eng Vib* 9(3): 375-383.
- [22] De-wei S, Zhi-gang C, Guang-yu Z, Berhard P (2011) Modeling and parameter identification of amplitude- and frequency-dependent rubber isolator. *J Cent South Univ Technol* 18: 672-678.
- [23] Ying L, Ming H (2013) Identification of the nonlinear properties of rubber-bearings in base-isolated buildings with limited seismic response data. *Technol Sci* 5:1224-1231.
- [24] Yu Y, Li Y, Li J (2014) Parameter\_identification of an improved Dahl model for magnetorheological elastomer base isolator based on enhanced genetic algorithm. In: Proceedings of 23rd Australasian conference on the mechanics of structures and materials, Byron Bay, Australia.
- [25] Yu Y, Li Y, Li J (2014) Parameter identification of a novel strain stiffening model for magnetorheological elastomer base isolator utilizing enhanced particle swarm optimization. *J Intel Mat Syst Str*, in press.